

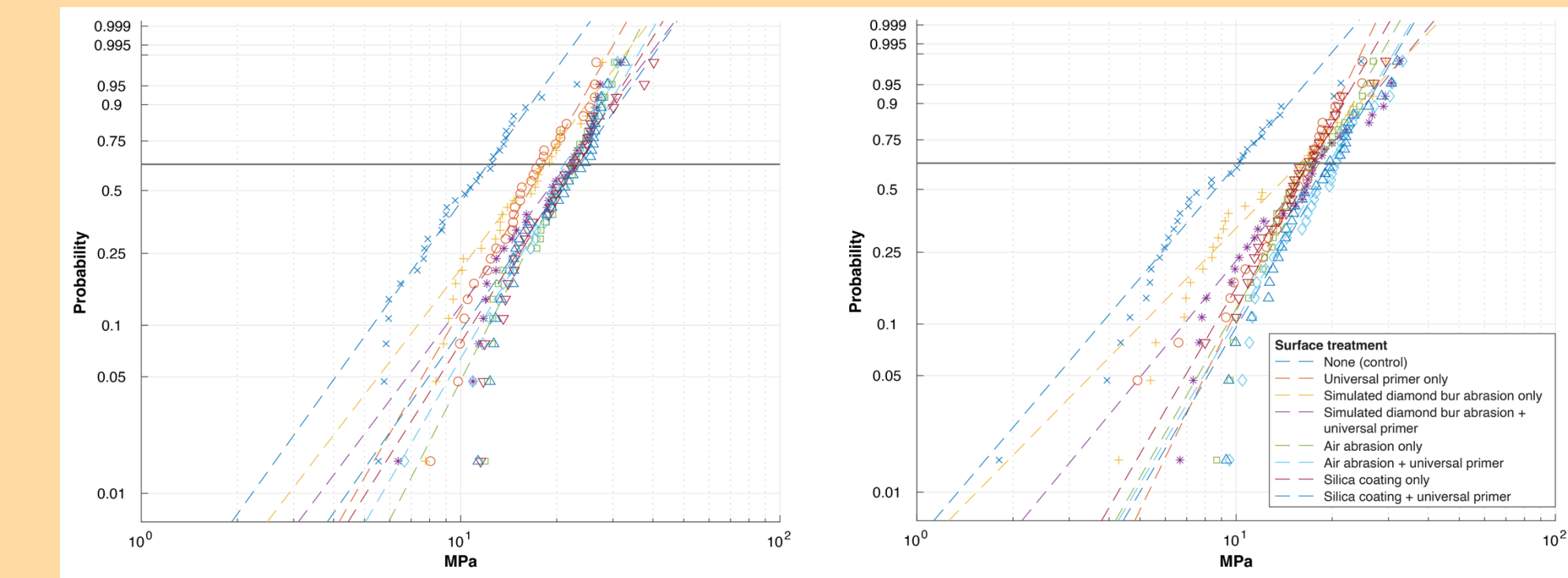
POLIKLINIK FÜR ZAHNERHALTUNG, PARODONTOLOGIE UND ENDODONTOLOGIE

Direktor: Univ.-Prof. Dr. Dr. Philipp Kanzow, MSc



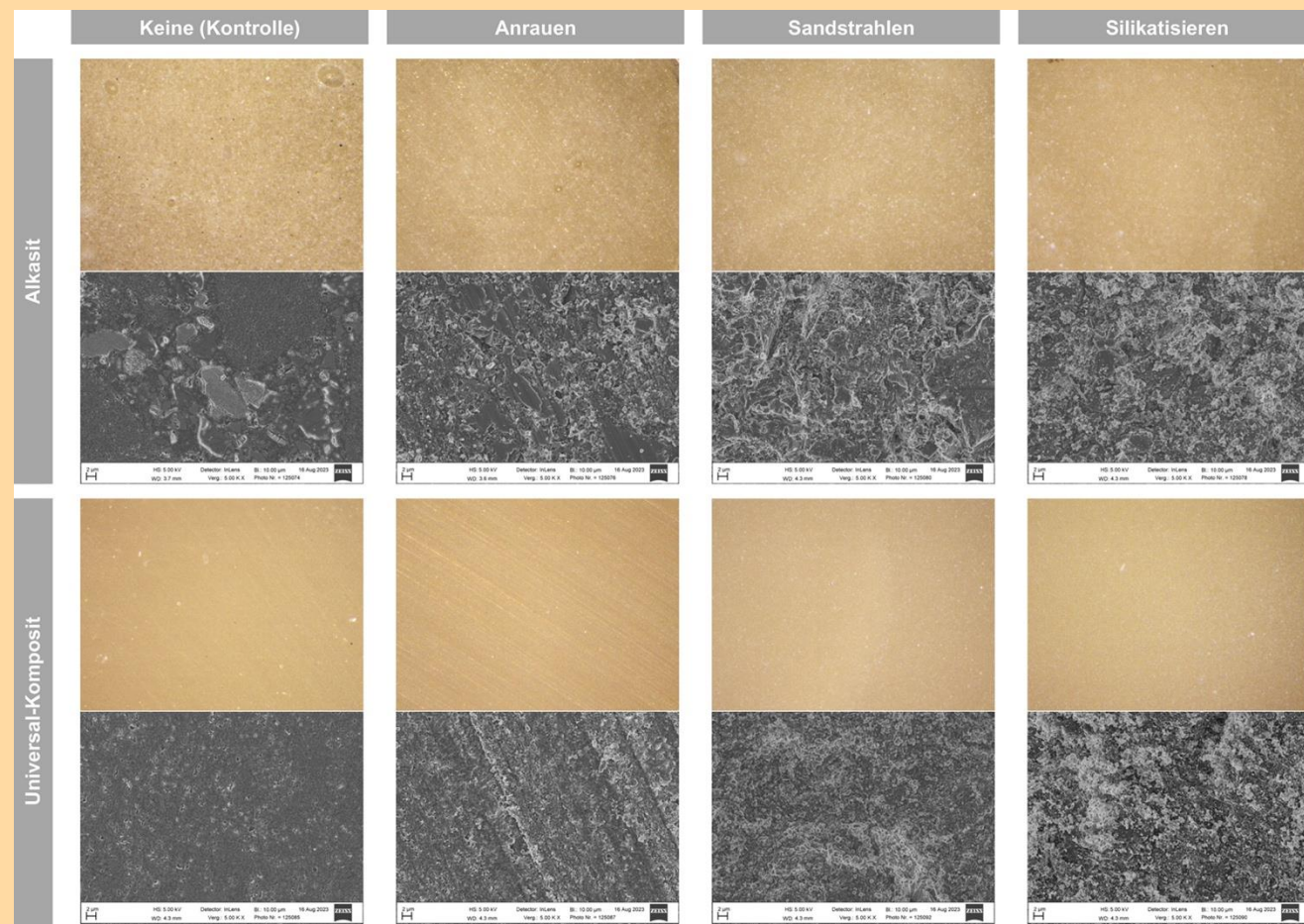
Versorgungsforschung, patient*innenzentrierte Forschung, materialwissenschaftliche Fragestellungen, Lehr- und Ausbildungsforschung: Langlebigkeit dentaler Restaurationen und Erfolgsraten zahnmedizinischer Therapien, Analyse patient*innenzentrierter Gesundheitsinformationen, Schmelz-/Dentinhaftung und Reparierbarkeit dentaler Materialien, Multiple-Choice-Frageformate zur Wissensüberprüfung und vieles mehr...

Prof. Dr. Dr. Philipp Kanzow, MSc
philipp.kanzow@med.uni-greifswald.de



Weibull-Wahrscheinlichkeitsdiagramme der Reparaturhaftfestigkeit von zwei verschiedenen Restaurationen nach unterschiedlichen physikalischen und chemischen Oberflächenkonditionierungen (Parameter der 2-parametrischen Weibull-Verteilung: charakteristische Haftkraft σ_0 und Weibull-Modul m).

Sandstrahlung von Prüfkörpern dentaler Füllungsmaterialien zur physikalischen Konditionierung der Reparaturfläche.



Auflichtmikroskopische und rasterelektronenmikroskopische (Vergrößerung: 5.000-fach) Oberflächenanalyse von zwei verschiedenen Restaurationen nach unterschiedlichen physikalischen Oberflächenbearbeitungen.

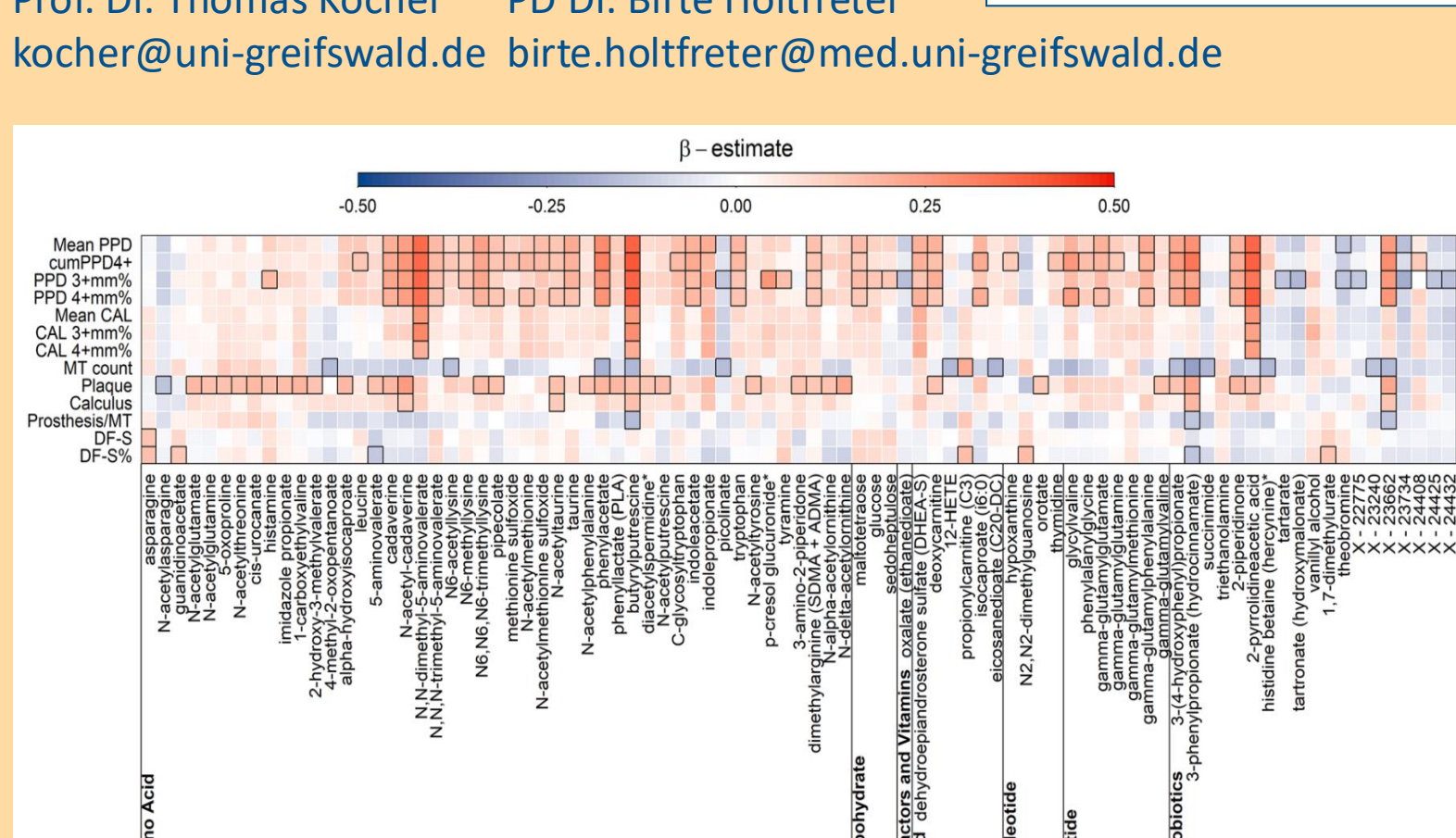
- Promotionen**
- R. Darwich: Repairability of an aluminosilicate composite: shear bond strength after different surface treatments. *Int J Adhes Adhes* 2025; 140:104012.
 - E. Hohmann: Effect of different working settings of sandblasting on resin composite repair bond strength. *Materials (Basel)* 2025; 18(2):313.
 - L. Holland: Quality of patient-centered eHealth information on erosive tooth wear: systematic search and evaluation of websites and YouTube videos. *J Med Internet Res* 2024; 26:e49514.
 - L. S. Rammet: Effect of face masks on salivary parameters and halitosis: randomized controlled crossover trial. *J Oral Pathol Med* 2023; 52(1):56-62.



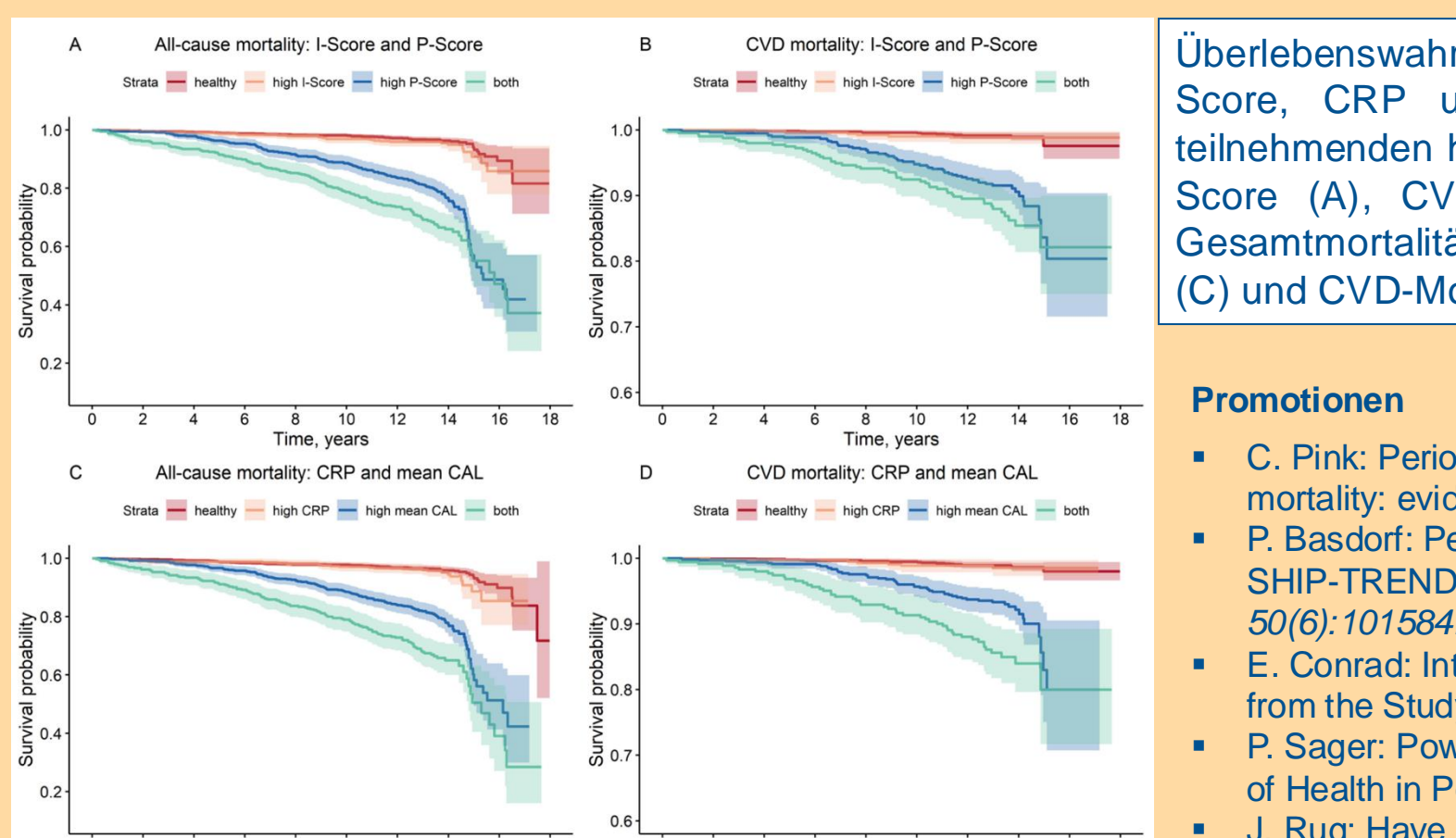
Epidemiologie: Untersuchung zur Prävalenz und Schwere parodontaler Erkrankungen sowie zu Zusammenhängen zwischen Parodontalerkrankungen und systemischen Erkrankungen unter Verwendung der Daten aus SHIP, GANI_MED und der NAKO-Gesundheitsstudie.

Assoziationen zwischen der mittleren Sondierungstiefe und dem gesamten Bereich der durch 1H-NMR-Spektroskopie erhaltenen Lipoproteinpartikel unter Ausschluss der Teilnehmenden, die lipidsenkende Medikamente einnehmen (ATC-Code C10).

Lipoprotein subfraction	N	Exp(Beta)1 & q value < 0.05			
VLDL	10294	1.02	1.02	1.02	1.02
LDL	10294	1.02	1.02	1.02	1.02
LDL1	10294	1.02	1.02	1.02	1.02
LDL2	10294	1.02	1.02	1.02	1.02
LDL3	10294	1.02	1.02	1.02	1.02
LDL4	10294	1.02	1.02	1.02	1.02
LDL5	10294	1.02	1.02	1.02	1.02
LDL6	10294	1.02	1.02	1.02	1.02
LDL7	10294	1.02	1.02	1.02	1.02
LDL8	10294	1.02	1.02	1.02	1.02
LDL9	10294	1.02	1.02	1.02	1.02
LDL10	10294	1.02	1.02	1.02	1.02
LDL11	10294	1.02	1.02	1.02	1.02
LDL12	10294	1.02	1.02	1.02	1.02
LDL13	10294	1.02	1.02	1.02	1.02
LDL14	10294	1.02	1.02	1.02	1.02
LDL15	10294	1.02	1.02	1.02	1.02
LDL16	10294	1.02	1.02	1.02	1.02
LDL17	10294	1.02	1.02	1.02	1.02
LDL18	10294	1.02	1.02	1.02	1.02
LDL19	10294	1.02	1.02	1.02	1.02
LDL20	10294	1.02	1.02	1.02	1.02
LDL21	10294	1.02	1.02	1.02	1.02
LDL22	10294	1.02	1.02	1.02	1.02
LDL23	10294	1.02	1.02	1.02	1.02
LDL24	10294	1.02	1.02	1.02	1.02
LDL25	10294	1.02	1.02	1.02	1.02
LDL26	10294	1.02	1.02	1.02	1.02
LDL27	10294	1.02	1.02	1.02	1.02
LDL28	10294	1.02	1.02	1.02	1.02
LDL29	10294	1.02	1.02	1.02	1.02
LDL30	10294	1.02	1.02	1.02	1.02
LDL31	10294	1.02	1.02	1.02	1.02
LDL32	10294	1.02	1.02	1.02	1.02
LDL33	10294	1.02	1.02	1.02	1.02
LDL34	10294	1.02	1.02	1.02	1.02
LDL35	10294	1.02	1.02	1.02	1.02
LDL36	10294	1.02	1.02	1.02	1.02
LDL37	10294	1.02	1.02	1.02	1.02
LDL38	10294	1.02	1.02	1.02	1.02
LDL39	10294	1.02	1.02	1.02	1.02
LDL40	10294	1.02	1.02	1.02	1.02
LDL41	10294	1.02	1.02	1.02	1.02
LDL42	10294	1.02	1.02	1.02	1.02
LDL43	10294	1.02	1.02	1.02	1.02
LDL44	10294	1.02	1.02	1.02	1.02
LDL45	10294	1.02	1.02	1.02	1.02
LDL46	10294	1.02	1.02	1.02	1.02
LDL47	10294	1.02	1.02	1.02	1.02
LDL48	10294	1.02	1.02	1.02	1.02
LDL49	10294	1.02	1.02	1.02	1.02
LDL50	10294	1.02	1.02	1.02	1.02



Heatmap der Speichelmetaboliten, die signifikant mit mindestens einem der untersuchten Merkmale assoziiert sind.



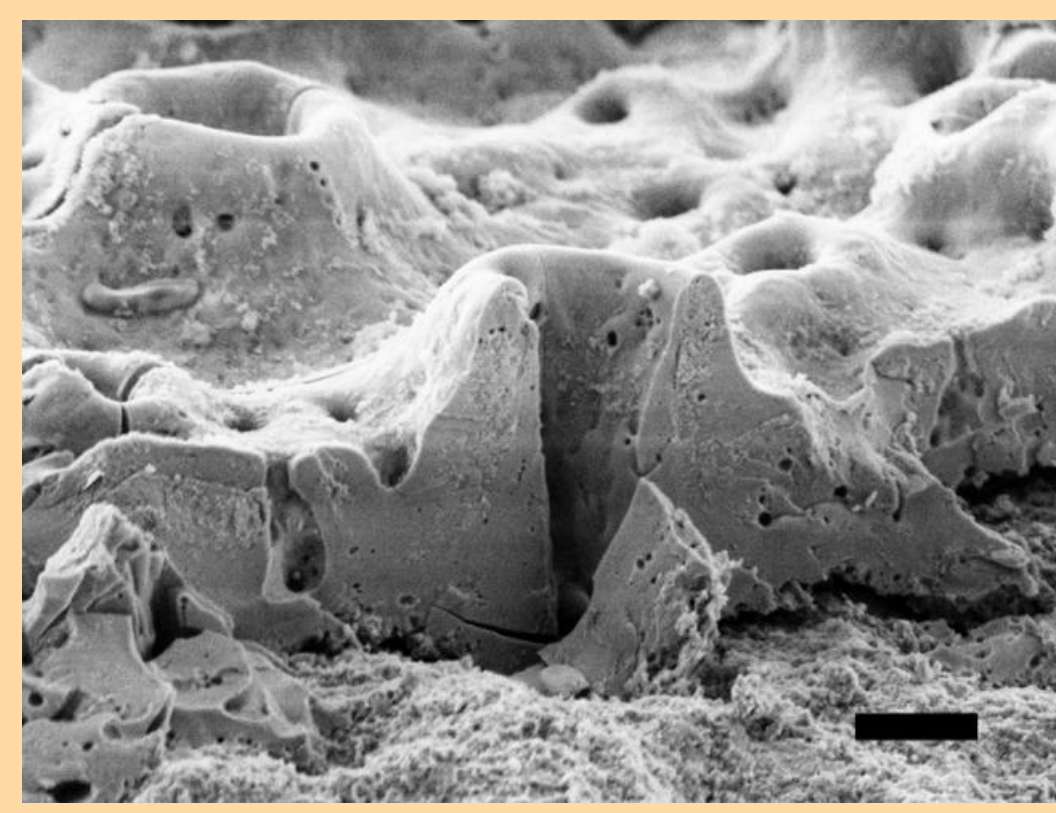
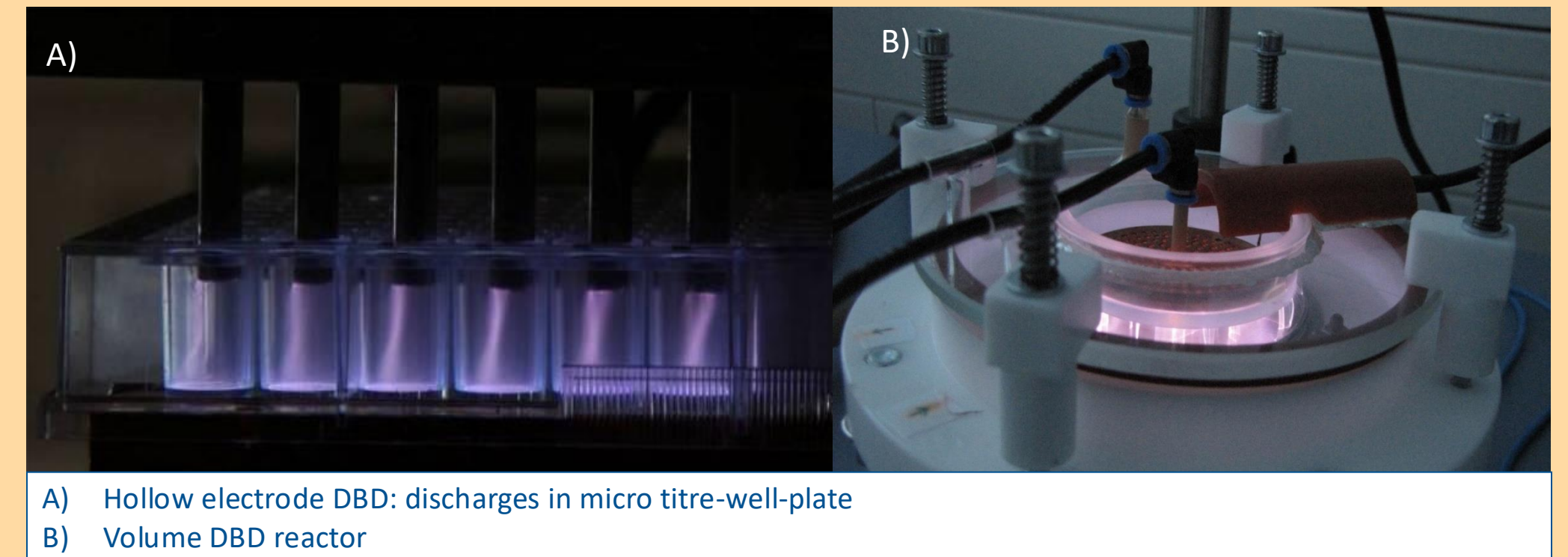
Überlebenswahrscheinlichkeit stratifiziert nach Inflamations-Score, Parodontitis-Score, CRP und mittlerem CAL. Überlebenswahrscheinlichkeiten der Studienteilnehmenden hinsichtlich der Gesamtmortalität nach Entzündungs- und Parodontitis-Score (A), CVD-Mortalität nach Entzündungs-Score und Parodontitis-Score (B), Gesamtmortalität nach Gesamtmortalität in Abhängigkeit von CRP und mittlerem CAL (C) und CVD-Mortalität in Abhängigkeit von CRP und mittlerem CAL (D).

- Promotionen**
- C. Pink: Periodontitis and systemic inflammation as independent and interacting risk factors for mortality: evidence from a prospective cohort study. *BMC Med* 2023; 21(1):430.
 - P. Basdorf: Periodontitis adversely affects lipoprotein subfractions - results from the cohort study SHIP-TREND: Periodontitis adversely affects lipoprotein subfractions. *Diabetes Metab* 2024; 50(6):101594.
 - E. Conrad: Interdental cleaning aids are beneficial for oral health at 7-year follow-up: Results from the Study of Health in Pomerania (SHIP-TREND). *J Clin Periodontol* 2024; 51(3):252-264.
 - P. Sager: Powered tooth brushes are beneficial for long-term oral health: Results from the Study of Health in Pomerania (SHIP-TREND). *J Clin Periodontol* 2023; 50(5):548-558.
 - J. Rug: Have extraction patterns in German adults with severe periodontitis changed between 2000 and 2010? Results from two cohort studies. *J Clin Periodontol* 2023; 50(4):463-475.



PlasmaDent: Ist kaltes Plasma zur antimikrobiellen Behandlung von Oberflächen geeignet? Anwendung von Plasma für die endodontische, parodontale und perimplantäre Therapie.

PD Dr. Lukasz Jablonowski
lukasz.jablonowski@uni-greifswald.de

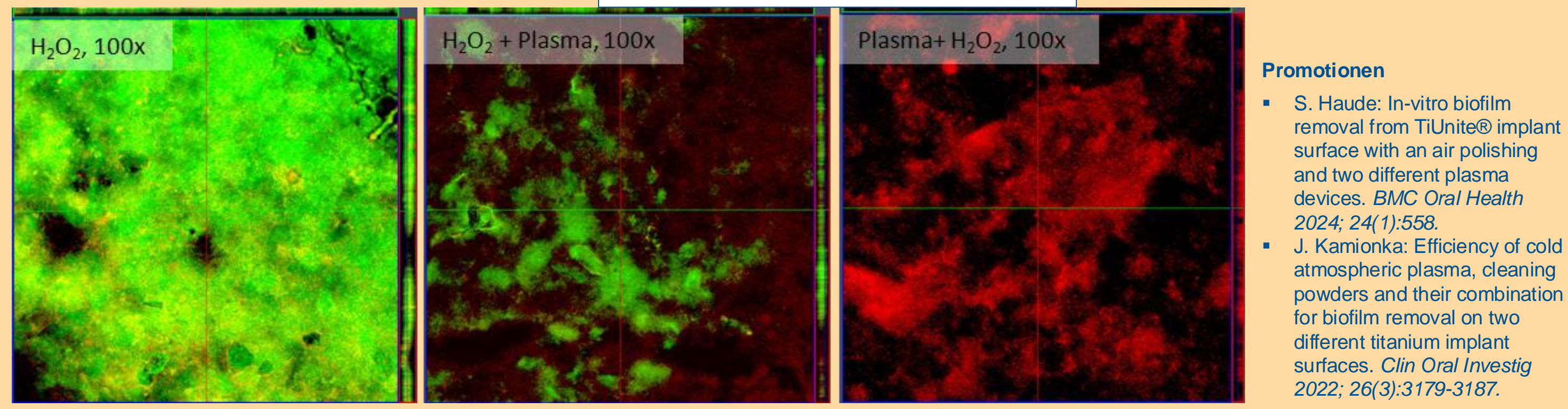


Die TiUnite® Oberfläche wird durch Funkenanodisation in einer elektrolytischen Lösung hergestellt, wodurch eine innere Schicht ohne Poren und eine äußere Schicht mit zahlreichen Poren mit einem Durchmesser und einer Tiefe zwischen ≤ 4 Mikrometer und ≤ 10 Mikrometer entsteht (schwarzer Balken: 2 μ m).



Vergleich der Biofilm-Fluoreszenz ohne und mit Plasmabehandlung in Kombination mit Pulverstrahlreinigung (keine, AirflowPerio und PerioPlus) auf verschiedenen Implantatoberflächen (Biomet 3i und Nobel Biocare).

Fluoreszenzmarkierung von Speichelbiofilmen auf Titaniumplättchen nach verschiedenen Behandlungen: H₂O₂, H₂O₂ plus Ar Plasma, Ar Plasma plus H₂O₂. Die Biofilme wurden markiert mit Fluoresceindiacetate und Ethidiumbromide um selektiv lebende (grün) und tote (rot) Bakterien zu kennzeichnen.

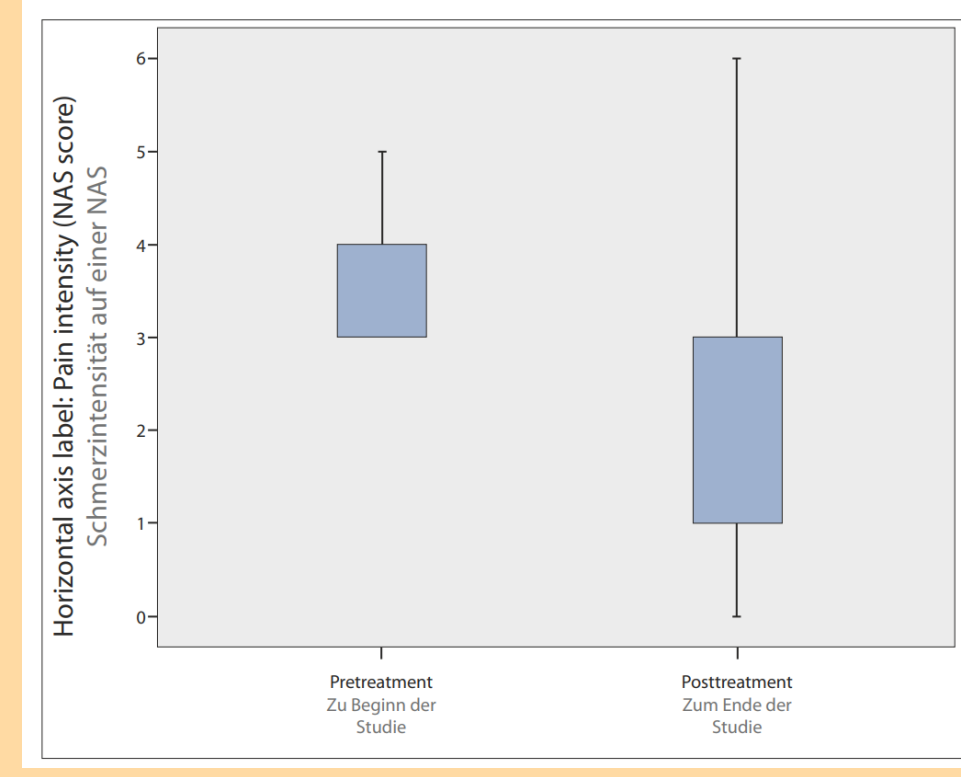


- Promotionen**
- S. Haude: In-vitro biofilm removal from TiUnite® implant surface with an air polishing and two different plasma devices. *BMC Oral Health* 2024; 24(1):558.
 - J. Kamionka: Efficiency of cold atmospheric plasma, cleaning powders and their combination for biofilm removal on two different titanium implant surfaces. *Clin Oral Invest* 2022; 26(3):3179-3187.

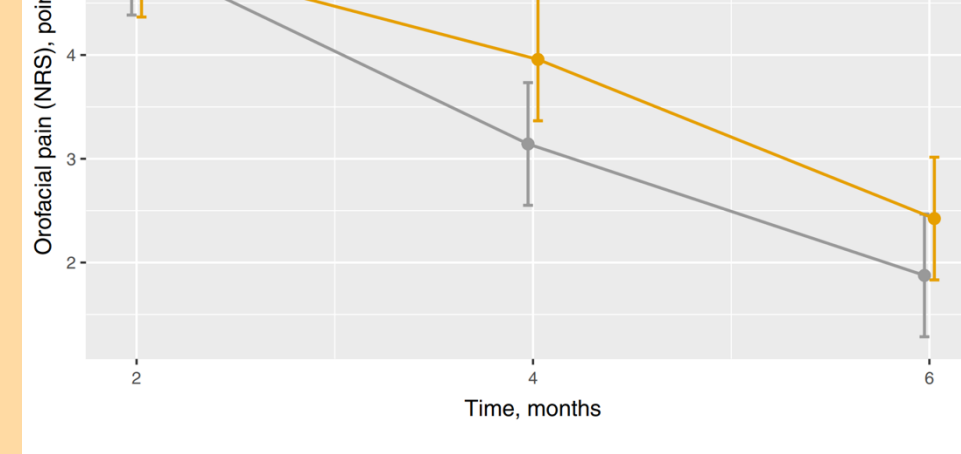


Epidemiologie: Zu den Forschungsschwerpunkten zählen die Bereiche kranio-mandibuläre Dysfunktion, Bruxismus sowie zahnärztliche Schlafmedizin. Datenerhebungen und Ergebniserzeugung erfolgen mittels klinischer Studien sowie der Datensätze aus den SHIP-Studien.

Prof. Dr. Olaf Bernhardt
obernhar@uni-greifswald.de

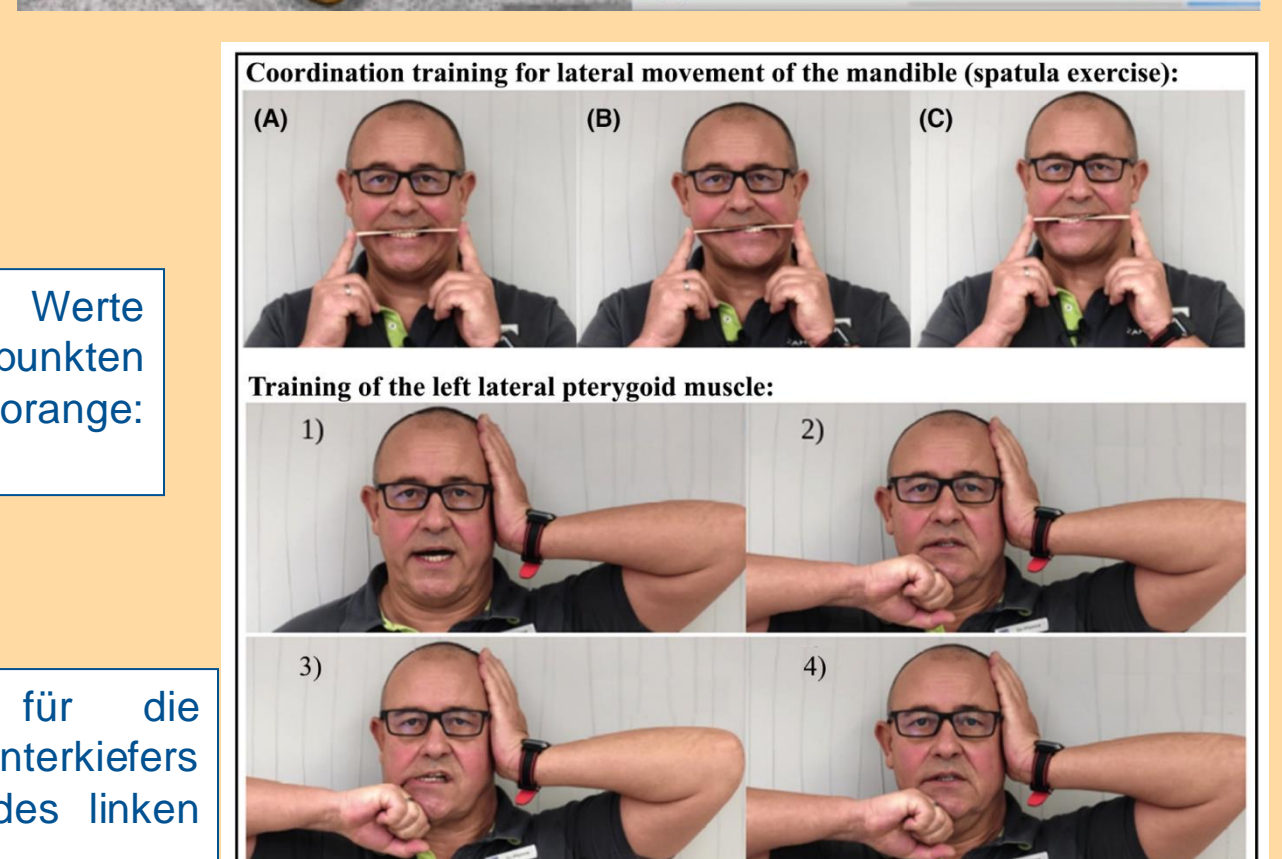
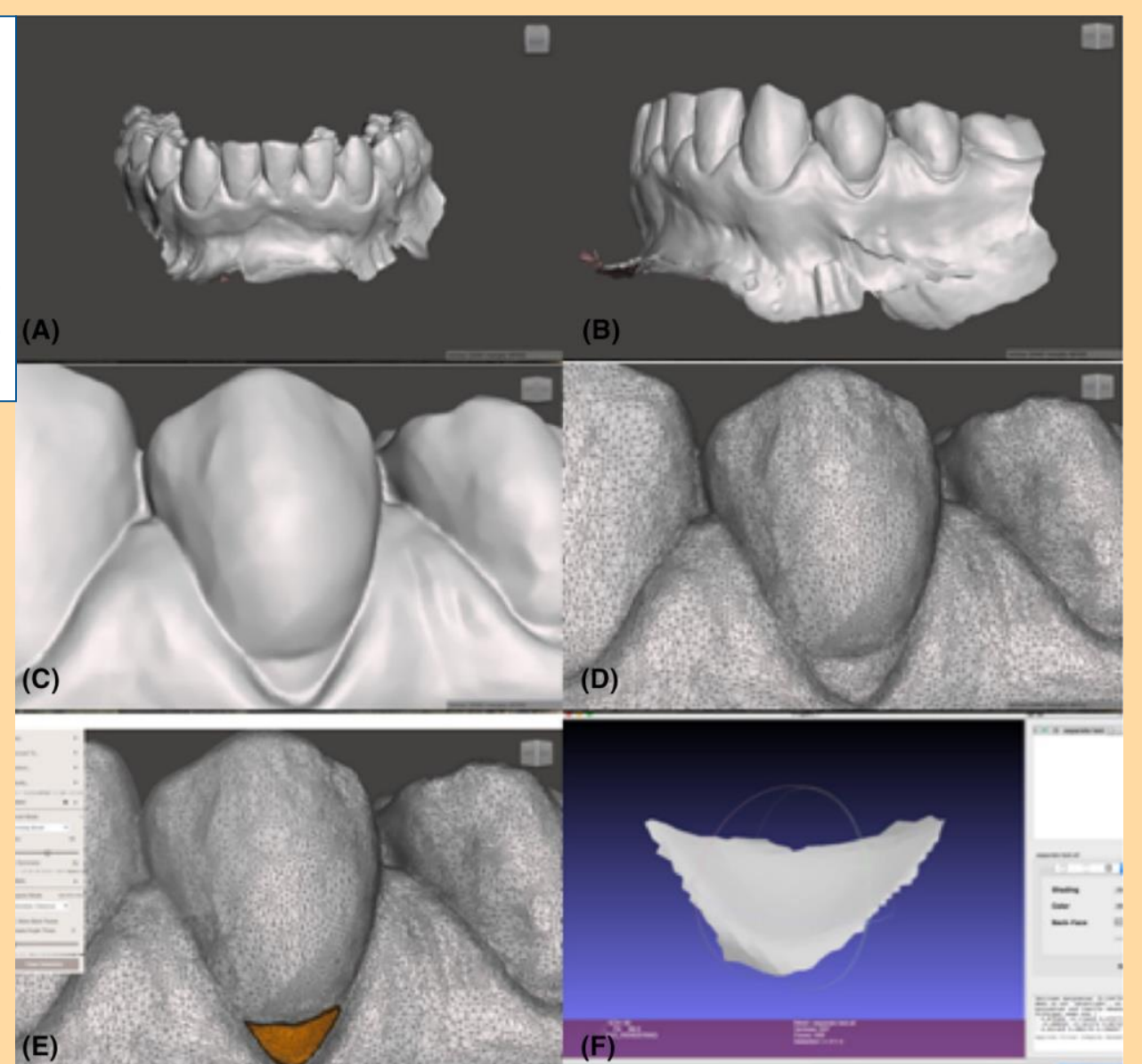


Die Zusammenhänge zwischen okklusalen Parametern in statischer und dynamischer Okklusion und den Anzeichen und Symptomen von temporomandibulären Störungen.



Orofazialer Schmerz: Ordinale Werte wurden zu verschiedenen Zeitpunkten modelliert (grau: Muskeltraining; orange: Stabilisierungsapparatur).

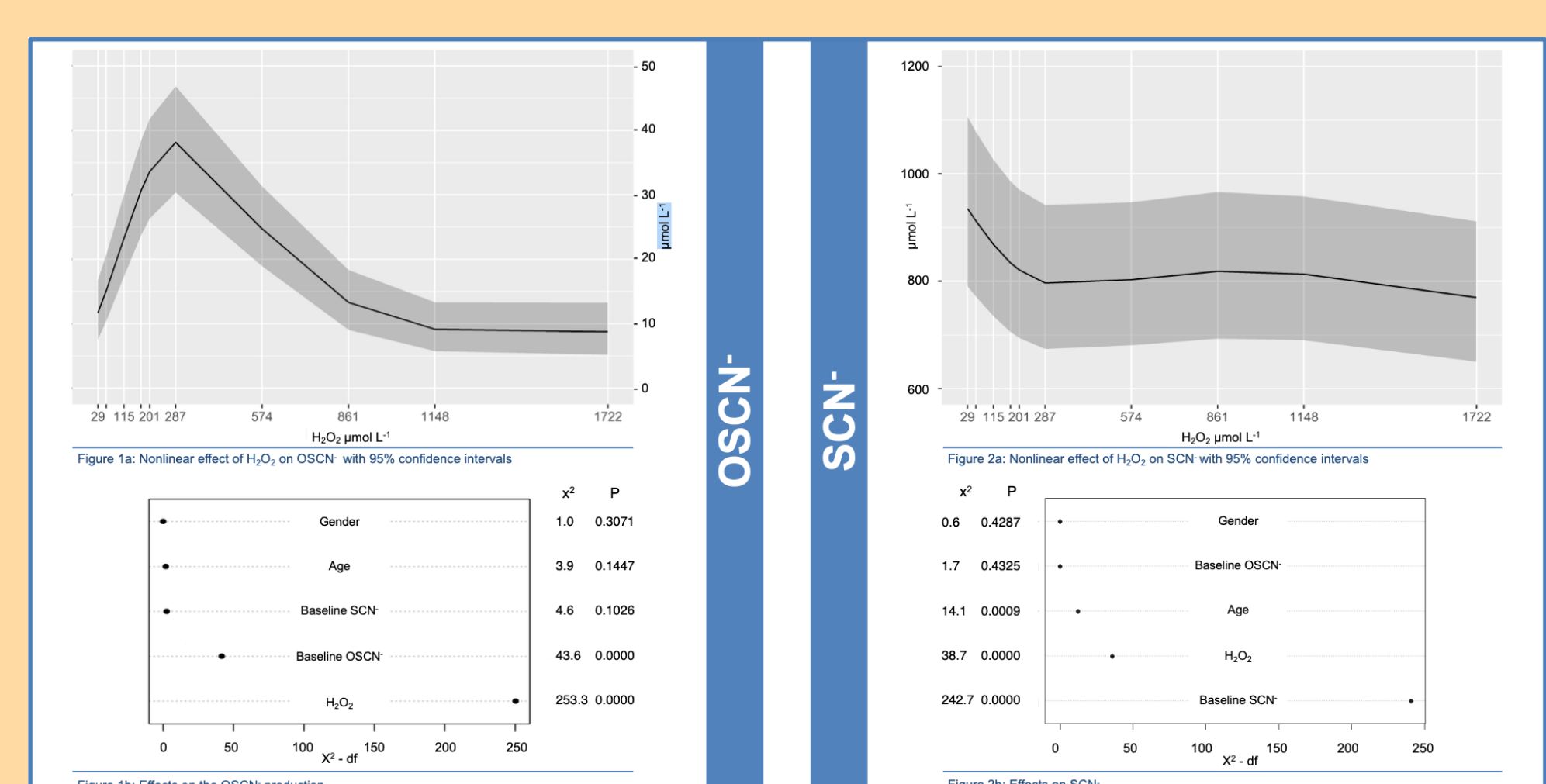
- Promotionen**
- C. Olbort: Training of the lateral pterygoid muscle in the treatment of temporomandibular joint disc displacement with reduction: A randomised clinical trial. *J Oral Rehabil* 2023; 50(10):921-930.
 - M. Giller: Effects of occlusal wear on 16-year progression of non-carious cervical lesions—Results of the study of health in Pomerania (SHIP-START). *J Oral Rehabil* 2024; 51(7):1184-1192.
 - S. Wiegmann: The associations between occlusal parameters in static and dynamic occlusion and the signs and symptoms of temporomandibular disorders. *Ztschr Kranio-mand Fkt* 2015; 7(1):35-46.
 - N. D. Lauenstein: The effect of electrical stimulation of the temporalis muscles on orofacial pain in patients with bruxism symptoms. *Ztschr Kranio-mand Fkt* 2022; 14(1):9-23.
 - M. Carius: Is there a causal relationship between signs of depression and/or anxiety disorders and self-reported bruxism? *Ztschr Kranio-mand Fkt* 2025; 17(1):31-46.



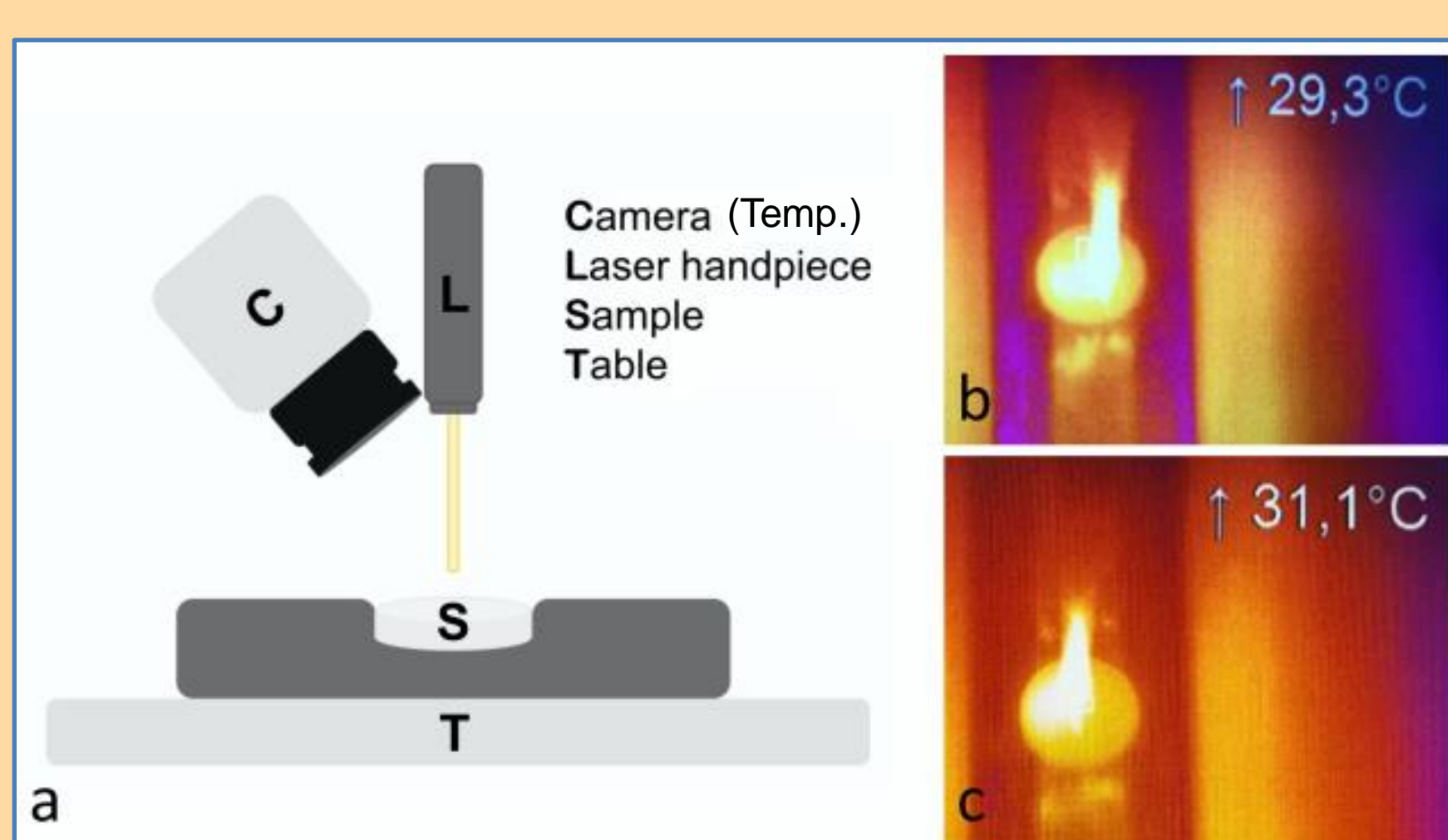
A-C) Koordinationstraining für die Seitwärtsbewegung des Unterkiefers (Spätlübung). 1-4) Training des linken lateralen Pterygoidmuskels.



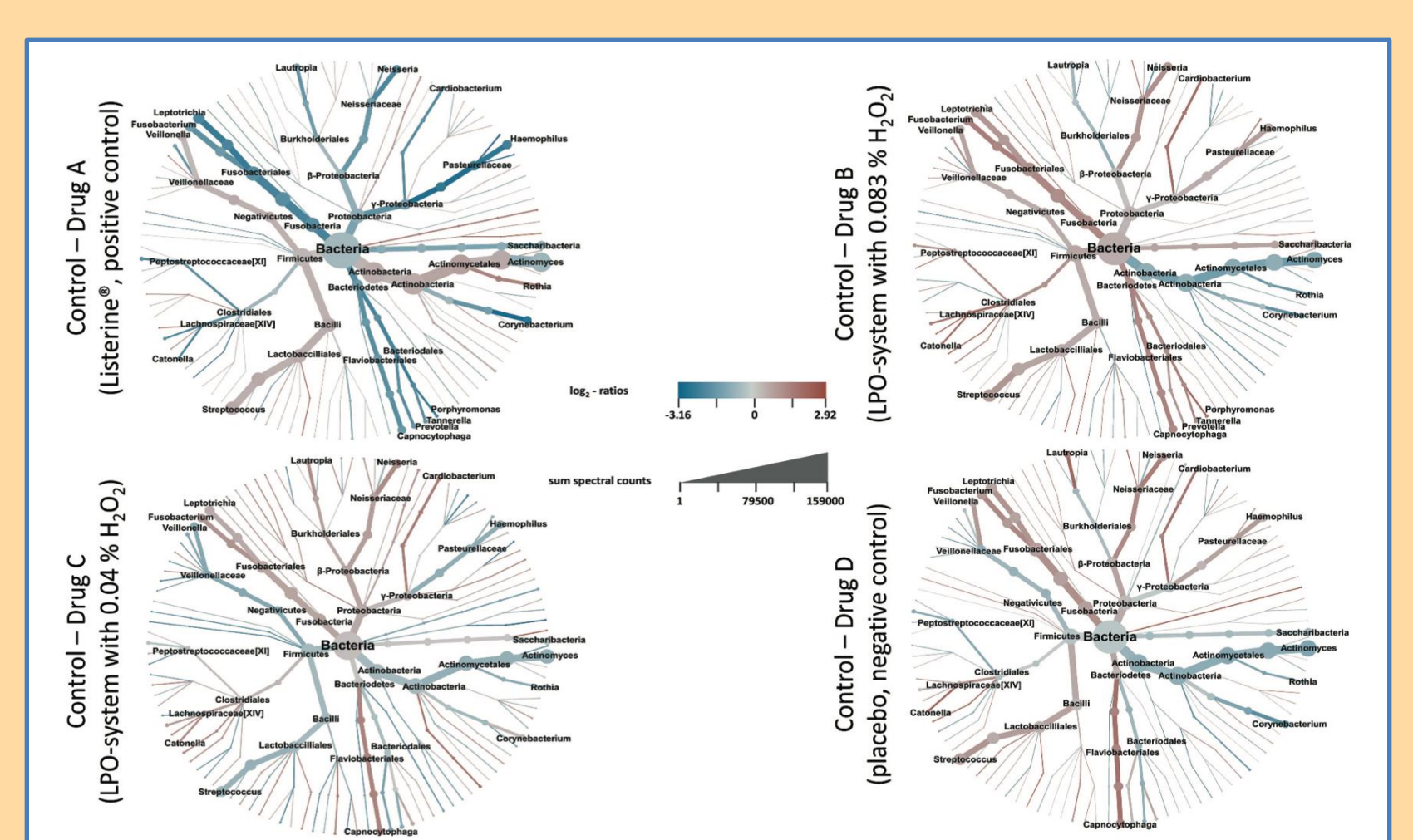
Orales Biofilm-Management: Präklinische und klinische Untersuchungen zu antimikrobiellen Substanzen und Therapien.



A) Einfluss von Wasserstoffperoxid auf die Hypothiocyanit-Bildung. B) Effektstärke von Geschlecht, Alter, Baselinewerte SCN / OSCN und Wasserstoffperoxid auf die Hypothiocyanitbildung.



(a) Schematischer Versuchsaufbau zur Absicherung des reinen Lasereffekts. Messung der Temperatur an der Wirkstelle nach (b) bzw. während (c) der Laserbehandlung.



Darstellung der taxonomischen Diversität sowie der veränderten Bakterienzusammensetzung für jede Behandlung (Farbgebung: Veränderungsrate, Astdicke: Anzahl der identifizierten Spektralzählungen).

- Promotionen**
- F. J. Stephenson: Adding Hydrogen Peroxide for Maximum Hypothiocyanite Production in Saliva. *102nd General Session of the IADR, 53rd Annual Meeting of the AADOCR / 48th Annual Meeting of the CADR; #0706; 13-16.03.2024.*
 - L. Dittich: Inactivation of Enterococcus faecium, Streptococcus mutans and Candida albicans with blue laser (445 nm) on zirconium implant surfaces. *Clin Oral Invest* 2025; submitted.
 - A. Rabe: Impact of different oral treatments on the composition of the supragingival plaque microbiome. *J Oral Microbiol* 2022; 14(1):2138251.